

LMZ23605

具备 36V 最高输入电压的 5A SIMPLE SWITCHER®
易电源电源模块



Literature Number: ZHCS559
March 2011

具备36V最高输入电压的5A SIMPLE SWITCHER® 易电源电源模块

易于使用7引脚封装



顶视图



底视图

30116986

TO-PMOD 7引脚封装
10.16X13.77X4.57mm(0.4X0.542X0.18英寸)
 $\theta_{JA} = 12^{\circ}\text{C/W}$, $\theta_{JC} = 1.9^{\circ}\text{C/W}$ (注释6)
符合RoHS(有害物质限用指令)标准

电气性能规格

- 30W最大总输出功率
- 输出电流高达5A
- 输入电压范围为6V至36V
- 输出电压范围为0.8V至6V
- 效率高达92%

主要特征

- 集成屏蔽电感器
- 单PCB(印刷电路板)布线
- 频率同步输入(650 kHz到950 kHz)
- 使用外部的软启动、跟踪和精确使能，可以实现灵活的上电时序控制
- 针对浪涌电流以及输入欠压锁定和输出短路等故障提供保护
- 工作结温范围 -40°C 至 $+125^{\circ}\text{C}$
- 采用单裸露焊盘和标准引脚，更易于装配和制造
- 卓越的瞬态响应，可应用于现场可编程门列(FPGA)和专用集成电路(ASIC)的供电电源
- 可得到WEBENCH电源设计软件的全面支持
- 引脚兼容LMZ22005/LMZ23603/LMZ22003

应用领域

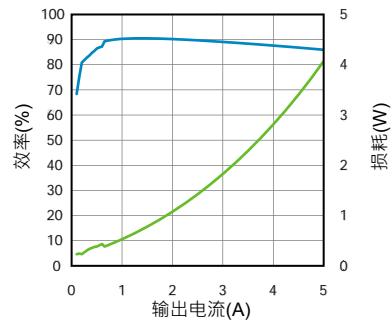
- 从12V和24V输入电压轨负载点转换
- 应用于时间受限的项目
- 应用于空间受限的高温场合
- 应用于负输出电压，请参阅AN-2027

性能优势

- 高效减少系统产生的热量
- 符合EN55022 B级标准(注释5)
- 元件数目少，只有5个外部元件
- 低输出电压纹波
- 使用印刷电路板(PCB)来作为散热板，无需空气流动

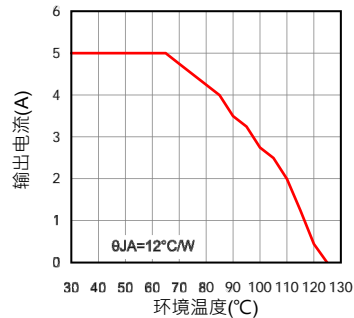
系统性能

$V_{IN} = 12\text{V}$ $V_{OUT} = 5.0\text{V}$ 时效率



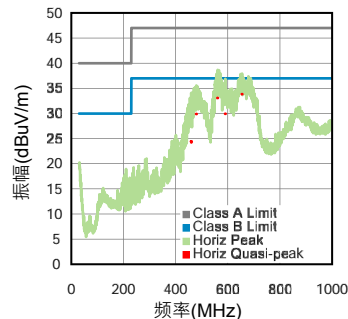
30116903

$V_{IN} = 12\text{V}$ $V_{OUT} = 5.0\text{V}$ 时
热降额曲线



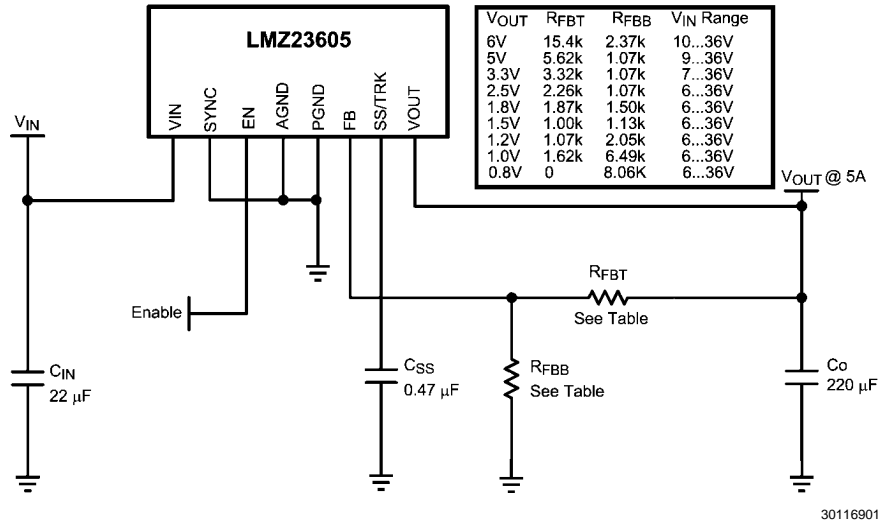
30116989

演示板(参阅AN-2125)的
辐射电磁干扰(EN55022)

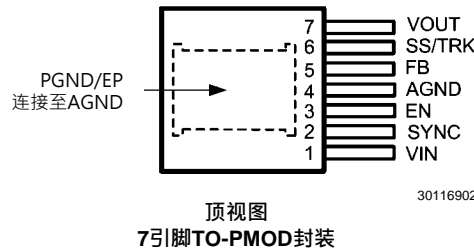


30116995

应用原理简图



连线图



订购信息

订购号	封装类型	NSC封装图纸	供货方式
LMZ23605TZ	TO-PMOD-7	TZA07A	每排45件
LMZ23605TZE	TO-PMOD-7	TZA07A	250件·卷带封装
LMZ23605TZX	TO-PMOD-7	TZA07A	250件·卷带封装

引脚描述

引脚号	名称	说明
1	VIN	电源输入—标称工作范围6V到36V。内部集成封装少量电容。必须在该引脚与裸露焊盘之间增加外部输入电容。
2	SYNC	同步输入—不使用同步连接接地的时，用一个频率在650 kHz到950 kHz之间的互补金属氧化物半导体(CMOS)逻辑电平矩形波来使脉宽调制(PWM)工作频率与外部频率源同步。该模块不同步PWM频率是812 kHz(典型值)。
3	EN	使能端—高精度使能比较器的输入端，典型的上升阈值为1.279V。一旦模块使能，一个21uA的源电流从内部激发有利于可编程迟滞。
4	AGND	模拟接地—所有规定电压的参照点。必须从外部连接到接地线(EP)。
5	FB	反馈—在内部连接至调节放大器和过电压比较器。在这个输入引脚，调节参考点是0.796V。在输出和模拟接地(AGND)之间连接反馈电阻分压器以设定输出电压。
6	SS/TRK	软启动/跟踪—连接一个外部软启动电容，将内部软启动时间延长1.6毫秒。对于跟踪，要连接一个与具有更高优先级电源轨连接的外部电阻分压器，请参阅相关应用章节。

引脚号	名称	说明
7	VOUT	输出电压—从内部电感器输出。在该引脚与反裸露焊盘之间连接输出电容。
EP	PGND	裸露焊盘/模块内主电路的电源接地电气通路。在内部不与模拟接地(AGND)/引脚4连接。在运行过程中用于封装体的散热。必须与封装外的引脚4进行电气连接。

绝对最大额定值

(注释1)

如果是用于军事航空专用设备，请向美国国家半导体销售办事处/经销商咨询具体可用性和规格。

VIN至PGND	-0.3V至40V
EN, SYNC至AGND	-0.3V至5.5V
SS/TRK, FB至AGND	-0.3V至2.5V
AGND至PGND	-0.3V至0.3V
结点温度	150°C
存储温度范围	-65°C至150°C

静电放电(ESD)敏感性(注释2)

±2kV

焊接规格：要了解相关产品资料，请登录www.national.com和www.national.com/ms/MS/MS-SOLDERING.pdf

额定工作定值

(注释1)

VIN	6V至36V
EN, SYNC	0V至5.0V
工作结点温度	-40°C至125°C

电气特性

用标准字体表示的数值仅用于在 $T_J=25^\circ\text{C}$ 时；使用粗体字体表示的极限值适用于结点温度(T_J)范围在 -40°C 至 $+125^\circ\text{C}$ 之间；最小和最大极限值通过测试、设计或统计数据得以保证。典型值是 $T_J=25^\circ\text{C}$ 时标准的参数值，这里仅供参考。 $V_{IN} = 12\text{V}$, $V_{OUT} = 3.3\text{V}$ ，除非在工作条件一栏中另有规定。

标识	参数	工作条件	最小值 (注释3)	典型值 (注释4)	最大值 (注释3)	单位
系统参数						
使能控制						
V_{EN}	EN阈值跳变点	V_{EN} 上升	1.10	1.279	1.458	V
V_{EN-HYS}	EN输入迟滞电流	$V_{EN} > 1.279\text{V}$		-21		μA
软启动						
I_{SS}	软启动源电流	$V_{SS} = 0\text{V}$	40	50	60	μA
t_{SS}	内部软启动间隔			1.6		msec
电流限制						
I_{CL}	电流限制阈值	直流平均值	5.4			A
内部开关振荡器						
f_{osc}	不同步振荡器频率	连接到接地线的同步输入	711	812	914	kHz
f_{sync}	同步范围		650		950	kHz
$V_{IL-sync}$	同步逻辑零振幅	相对于AGND			0.4	V
$V_{IH-sync}$	同步逻辑一振幅	相对于AGND.	1.5			V
Sync _{d.c.}	同步占空比范围		15	50	85	%
D_{max}	最大占空比系数			83		%
调节和过电压比较器						
V_{FB}	内部调节反馈电压	$V_{SS} >+ 0.8\text{V}$ $I_O = 5\text{A}$	0.776	0.796	0.816	V
V_{FB-OV}	反馈过电压保护阈值			0.86		V
I_{FB}	反馈输入偏流			5		nA
I_Q	非转换输入电流	$V_{FB} = 0.86\text{V}$		2.6		mA
I_{SD}	非转换输入电流	$V_{EN} = 0\text{V}$		70		μA
热特性						
T_{SD}	热关断	上升		165		$^\circ\text{C}$
$T_{SD-HYST}$	热关断迟滞	下降		15		$^\circ\text{C}$
θ_{JA}	至环境结点(注释6)	四层评估印刷电路板，60孔，无空气流动		12.0		$^\circ\text{C/W}$
		2层JEDEC印刷电路板，无空气流动		21.5		$^\circ\text{C/W}$
θ_{JC}	至外壳结点	无空气流动		1.9		$^\circ\text{C/W}$

标识	参数	工作条件	最小值 (注释3)	典型值 (注释4)	最大值 (注释3)	单位
性能参数(注释7)						
ΔV_O	输出电压纹波	$C_{out} = 220\mu F$ w/ 7百万ESR+ 100uFX7R + $2 \times 0.047\mu F$ BW@ 20 MHz		9		mV pp
$\Delta V_O/\Delta V_{IN}$	线路调节	$V_{IN} = 12V$ 至 $36V$, $I_O = 0.001A$		± 0.02		%
$\Delta V_O/\Delta I_{OUT}$	负载调节	$V_{IN} = 12V$, $I_O = 0.001A$ 至 $5A$		1		mV/A
η	峰值效率	$V_{IN} = 12V$ $V_O = 3.3V$ $I_O = 1A$		86		%
η	满负载效率	$V_{IN} = 12V$ $V_O = 3.3V$ $I_O = 5A$		81.5		%
η	峰值效率	$V_{IN} = 24V$ $V_O = 3.3V$ $I_O = 2A$		80		%
η	满负载效率	$V_{IN} = 24V$ $V_O = 3.3V$ $I_O = 5A$		76		%

注释1: 对最大额定值为极限值。超过极限值会导致设备损坏。额定工作值是保证设备正常工作的工作条件。关于规范保证和测试环境，请参阅电气特性。

注释2: 人体模型是通过一个1.5 k Ω 电阻向每个引脚放电的100pF电容器。测试方法依据JESD22-A114S。

注释3: 在25°C的环境温度下对百分之百的产品进行了最大和最小极限值试验。在工作温度范围内的极限值是通过使用统计质量控制(SQC)方法得到的关系确定的。这些极限值可用于计算美国国家半导体产品的平均出厂质量水平(AOQL)。

注释4: 典型值是在25°C时测得的，代表最可能的参数指标。

注释5: EN 55022:2006, +A1:2007, FCC第十五部分，B子节:2007版。请参阅AN-2125和所测试设备的布线信息。 $V_{in} = 24V$, $V_o = 3.3V$, $I_o = 5A$

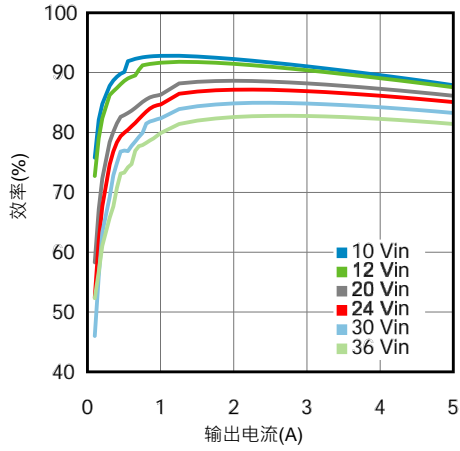
注释6: θ_{JA} 在一个3.5" x 3.5"四层板上测得，该板的外层含铜三盎司，内层含2盎司铜，六十个10密耳散热孔，无空气流动，功耗为1W。请参考应用说明布局图。

注释7: 参阅表1物料清单。

典型性能特性

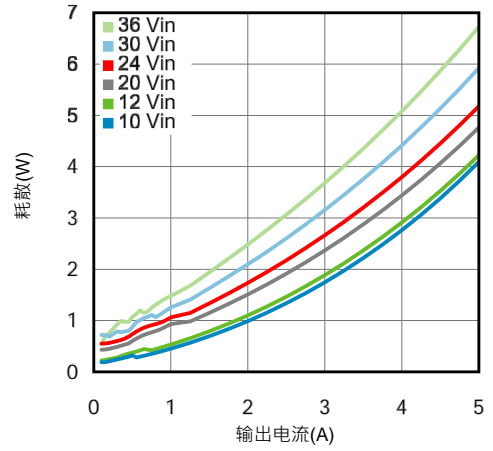
除非另有规定，否则以下条件适用于： $V_{IN} = 12V$ ； $C_{in} = 2 \times 10\mu F + 1\mu F$ X7R； $C_O = 220\mu F$ 聚合物+ $10\mu F$ 陶瓷电容； $T_{ambient} = 25^\circ C$ 时的波形。用*标注的效率和耗散曲线在小负载的情况下有一个周期跳步，导致产生稍高的输出电压纹波—请参阅应用章节。

输出6.0V · 环境温度为25°C时的效率



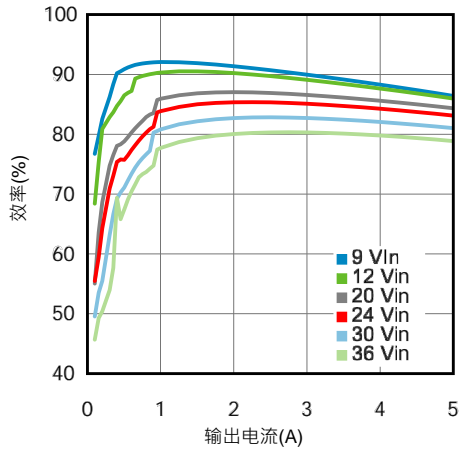
30116987

输出6.0V · 环境温度为25°C时的耗散



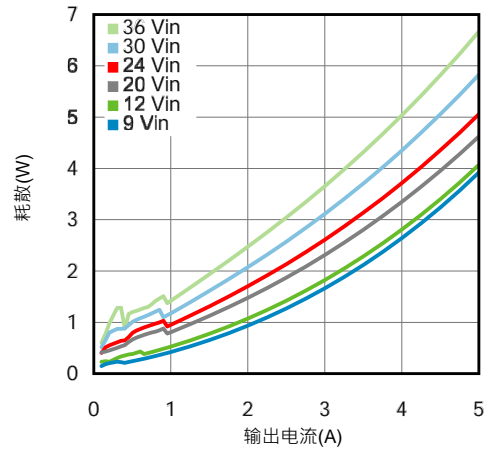
30116988

输出5.0V · 环境温度为25°C时的效率



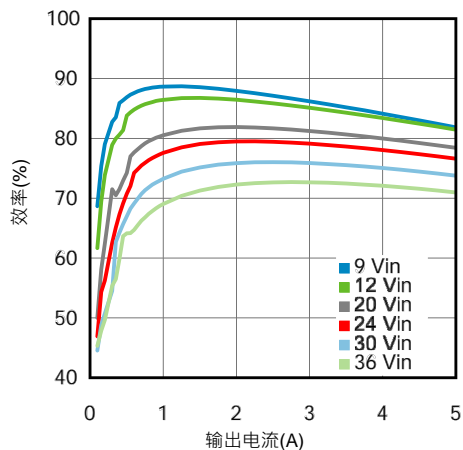
30116952

输出5.0V · 环境温度为25°C时的耗散



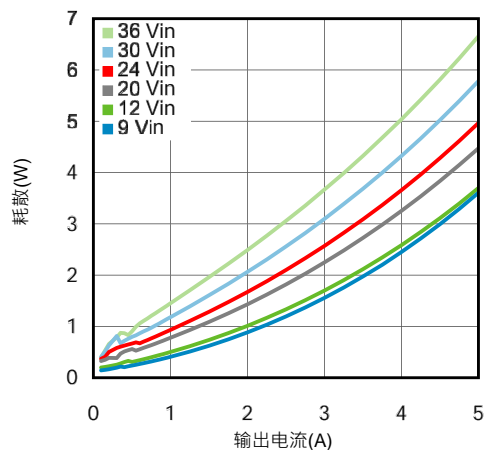
30116953

输出3.3V · 环境温度为25°C时的效率



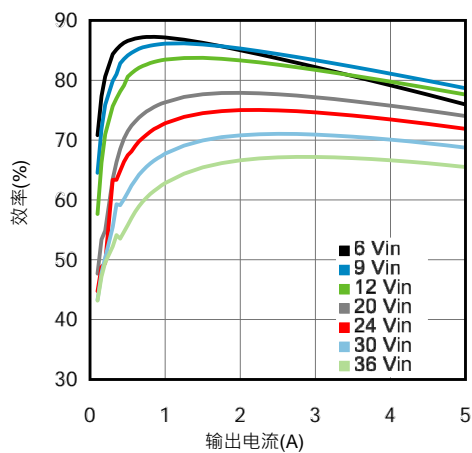
30116954

输出3.3V · 环境温度为25°C时的耗散



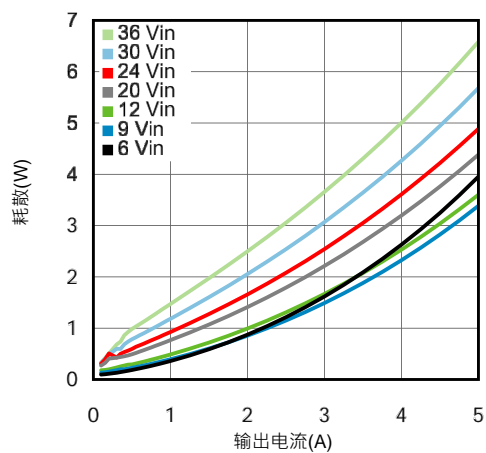
30116955

输出2.5V · 环境温度为25°C时的效率



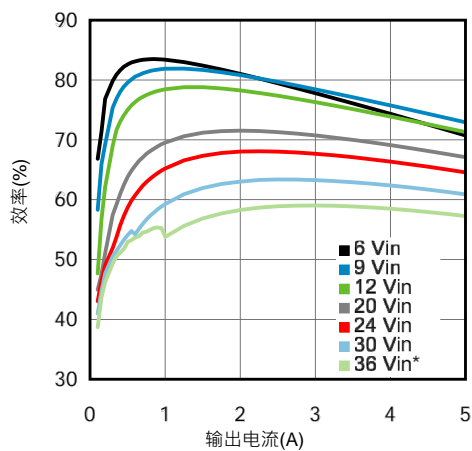
30116956

输出2.5V · 环境温度为25°C时的耗散



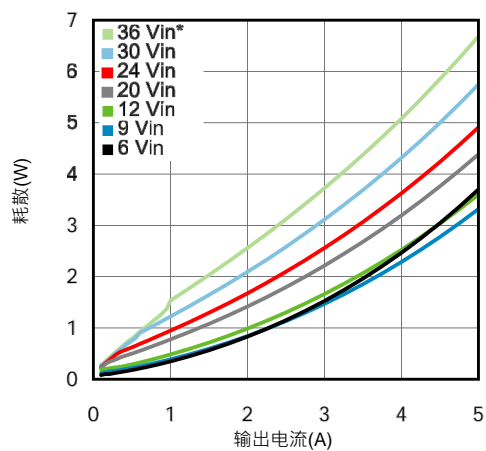
30116957

输出1.8V · 环境温度为25°C时的效率



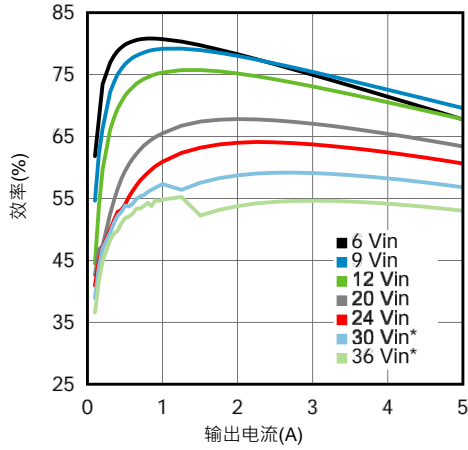
30116958

输出1.8V · 环境温度为25°C时的耗散



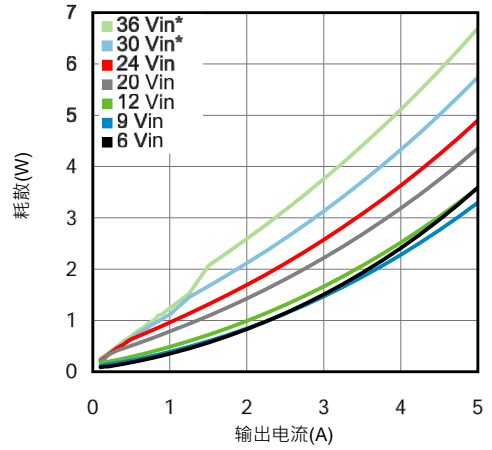
30116959

输出1.5V · 环境温度为25°C时的效率



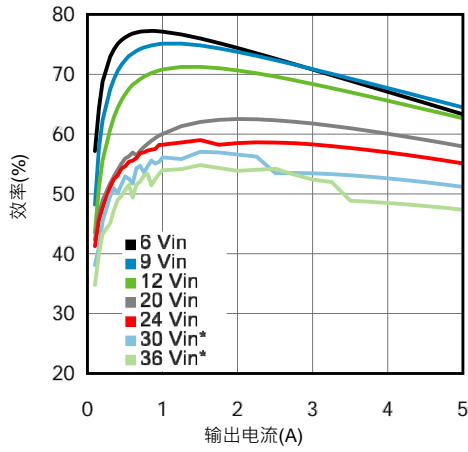
30116960

输出1.5V · 环境温度为25°C时的耗散



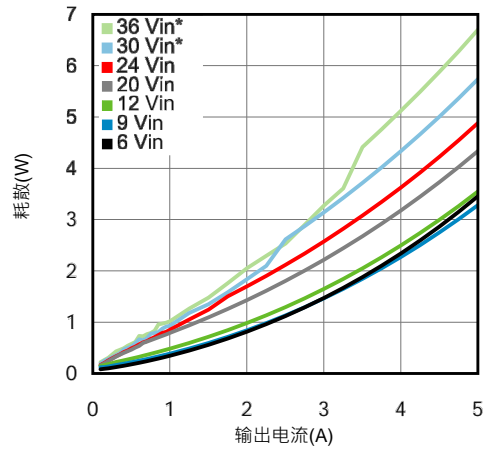
30116961

输出1.2V · 环境温度为25°C时的效率



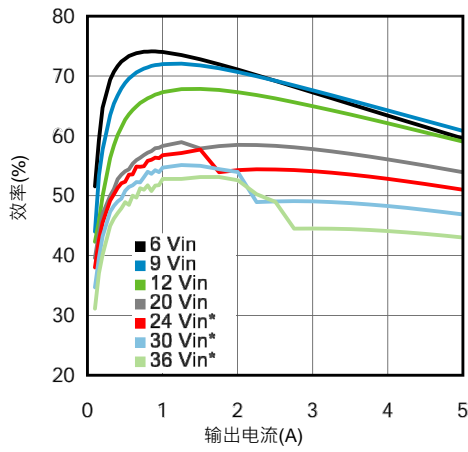
30116962

输出1.2V · 环境温度为25°C时的耗散



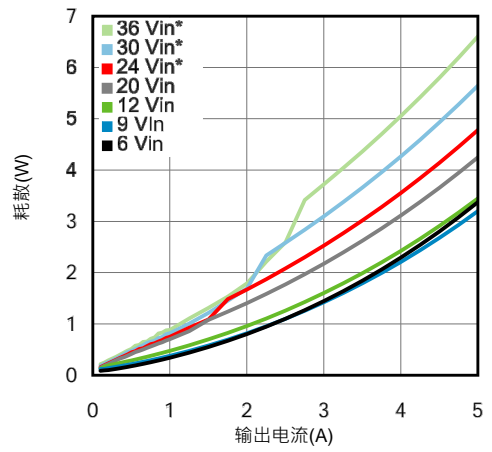
30116963

输出1.0V · 环境温度为25°C时的效率



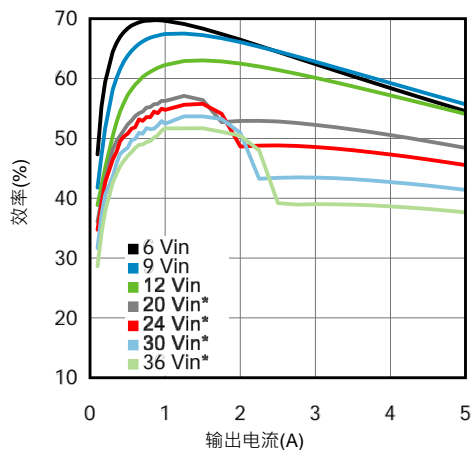
30116964

输出1.0V · 环境温度为25°C时的耗散



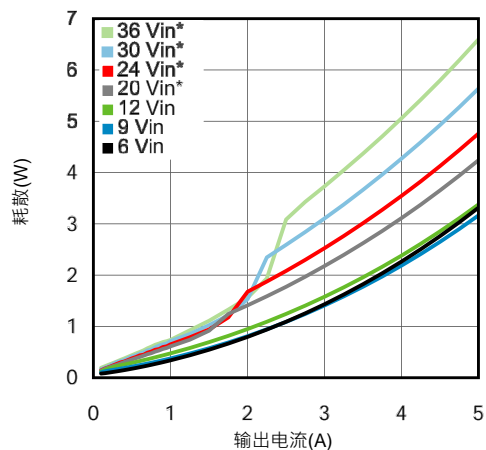
30116965

输出0.8V · 环境温度为25°C时的效率



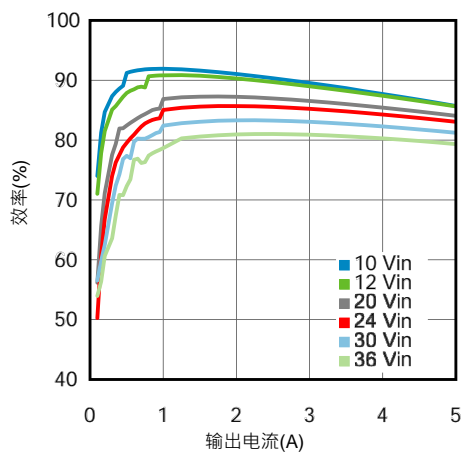
30116990

输出0.8V · 环境温度为25°C时的耗散



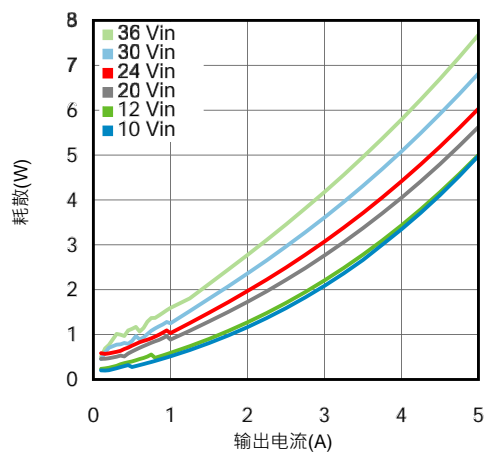
30116991

输出6.0V · 环境温度为85°C时的效率



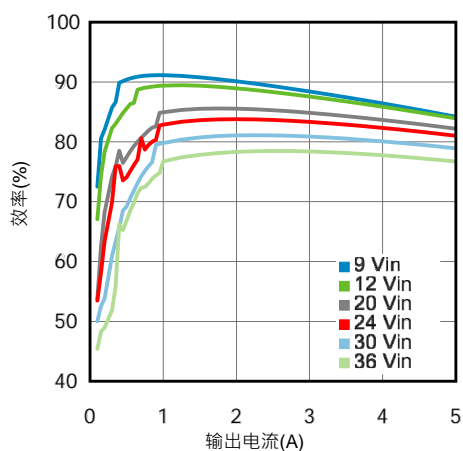
30116926

输出6.0V · 环境温度为85°C时的耗散



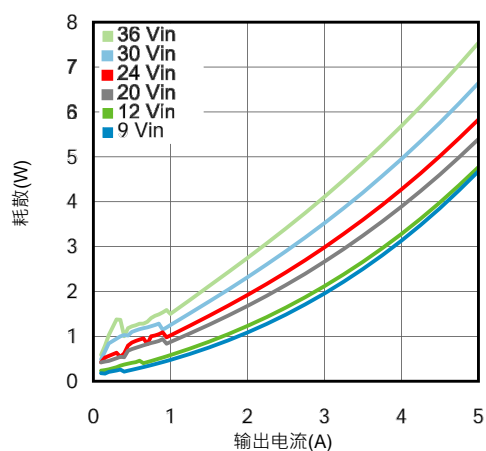
30116927

输出5.0V · 环境温度为85°C时的效率



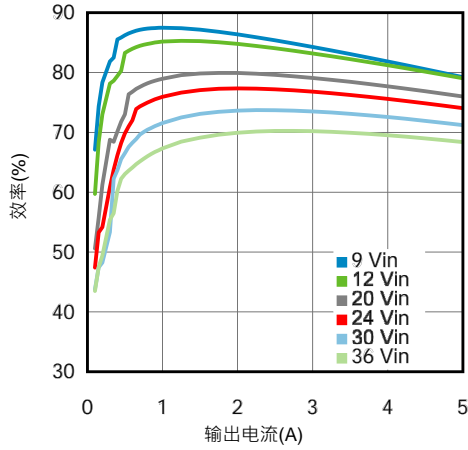
30116928

输出5.0V · 环境温度为85°C时的耗散



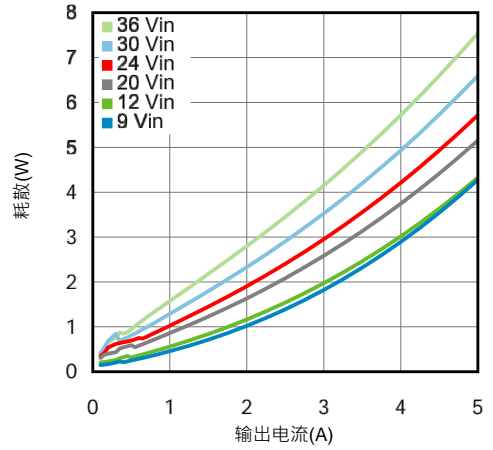
30116929

输出3.3V · 环境温度为85°C时的效率



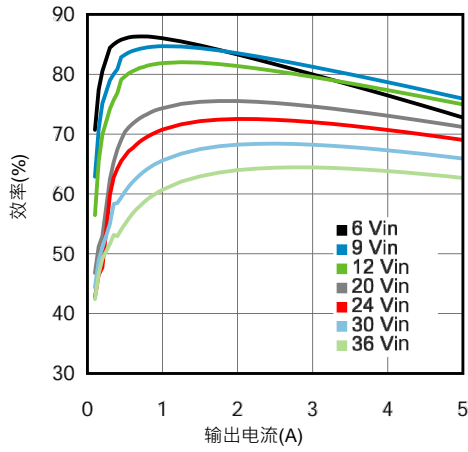
30116930

输出3.3V · 环境温度为85°C时的耗散



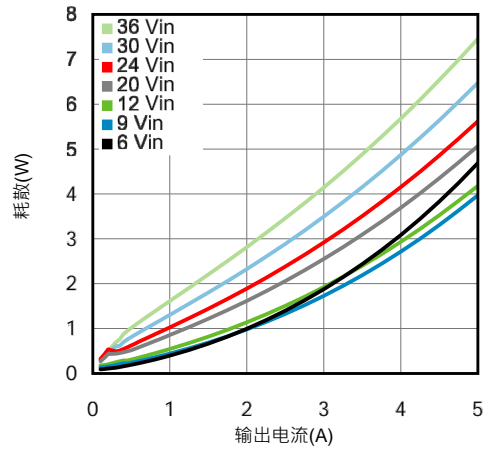
30116931

输出2.5V · 环境温度为85°C时的效率



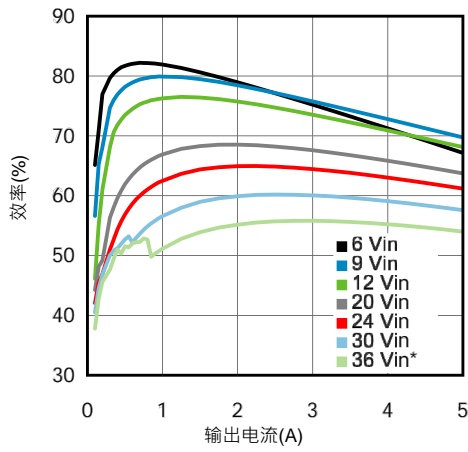
30116932

输出2.5V · 环境温度为85°C时的耗散



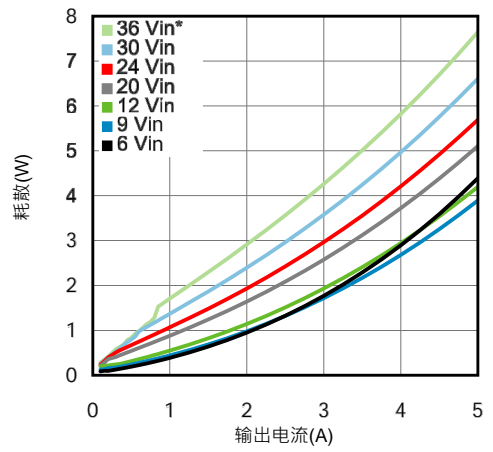
30116933

输出1.8V · 环境温度为85°C时的效率

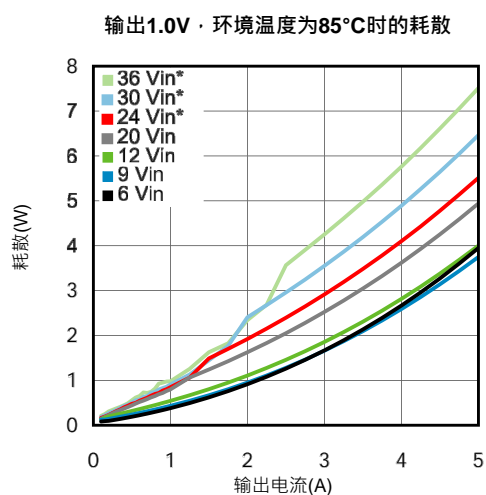
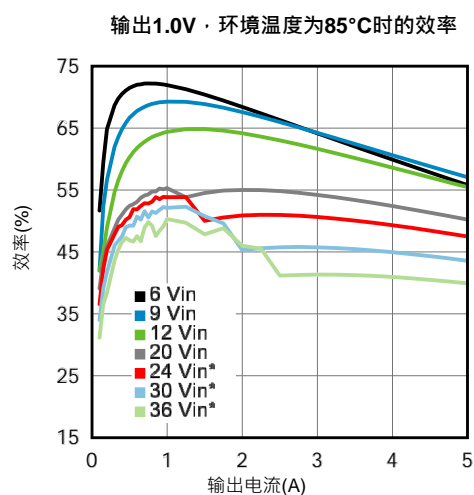
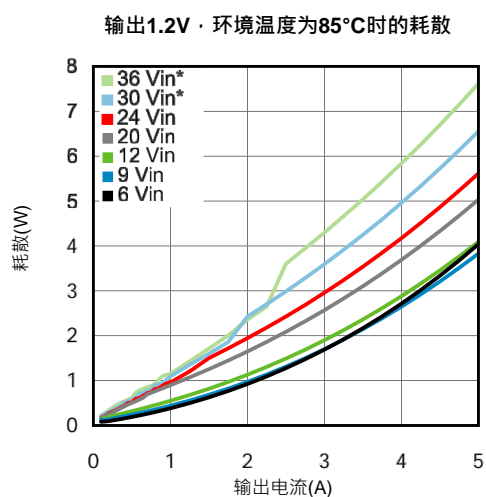
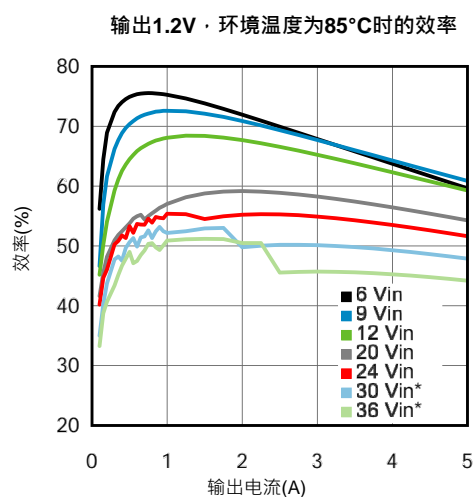
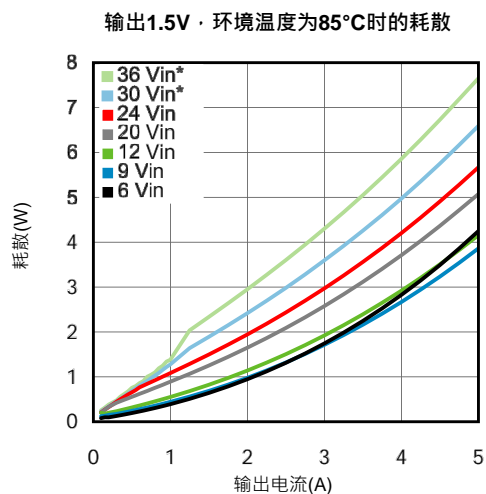
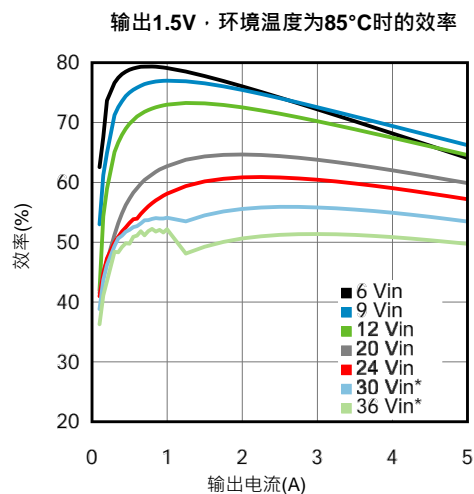


30116934

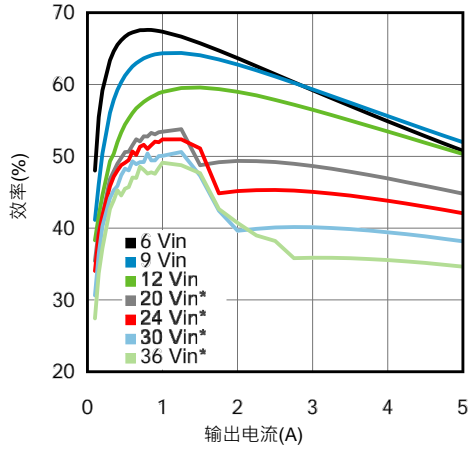
输出1.8V · 环境温度为85°C时的耗散



30116935

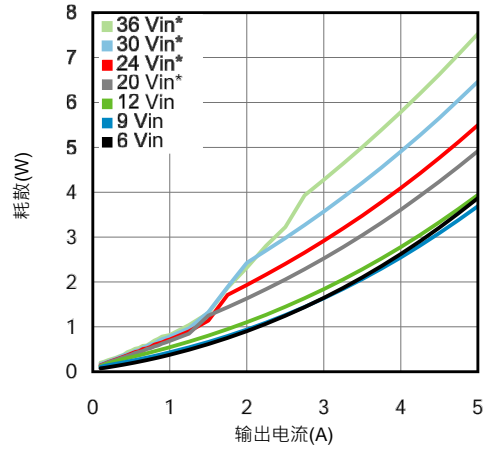


输出0.8V · 环境温度为85°C时的效率



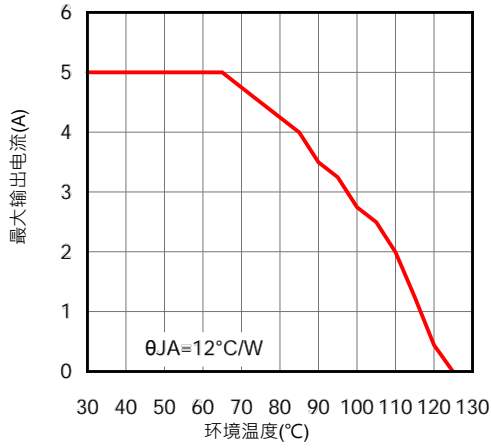
30116992

输出0.8V · 环境温度为85°C时的耗散



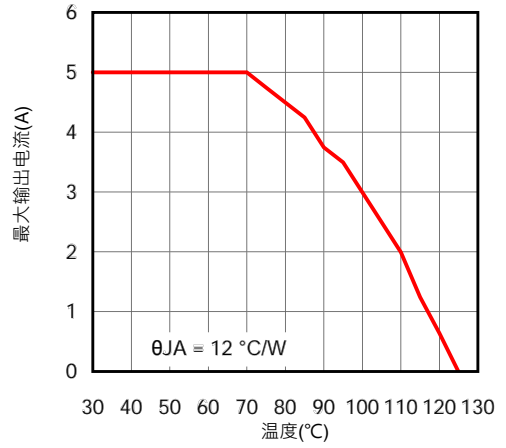
30116993

热降额 $V_{IN} = 12V, V_{OUT} = 5.0V$



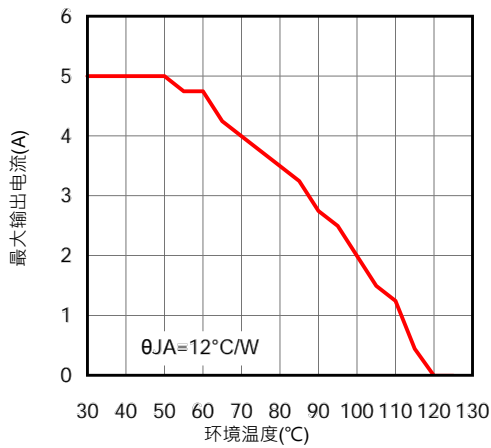
30116989

热降额 $V_{IN} = 12V, V_{OUT} = 3.3V$



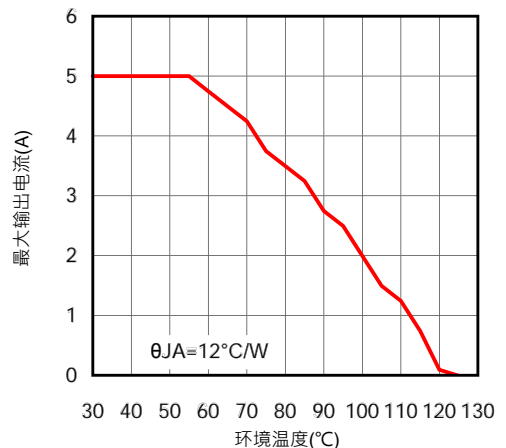
30116994

热降额 $V_{IN} = 24V, V_{OUT} = 5.0V$

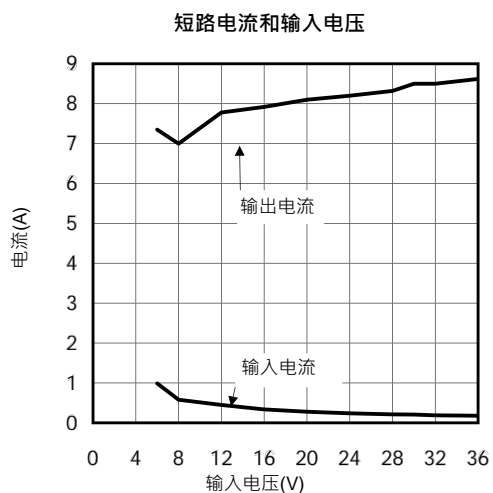
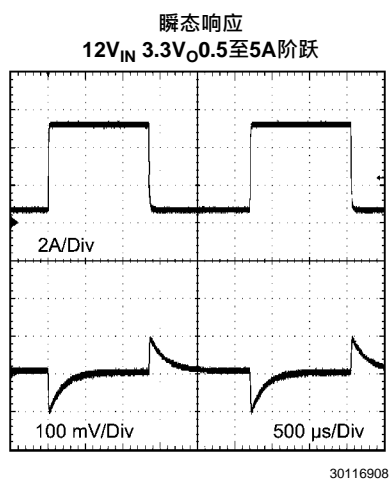
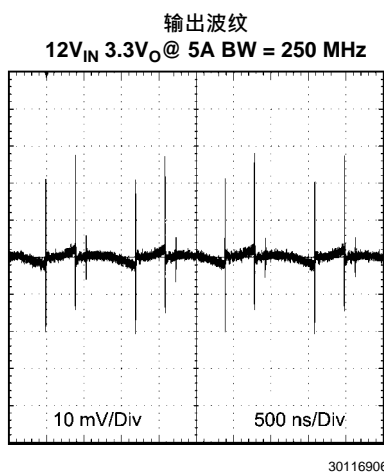
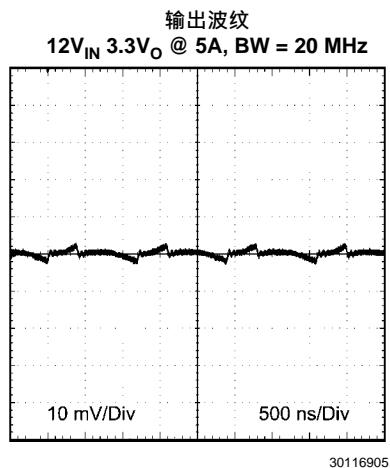
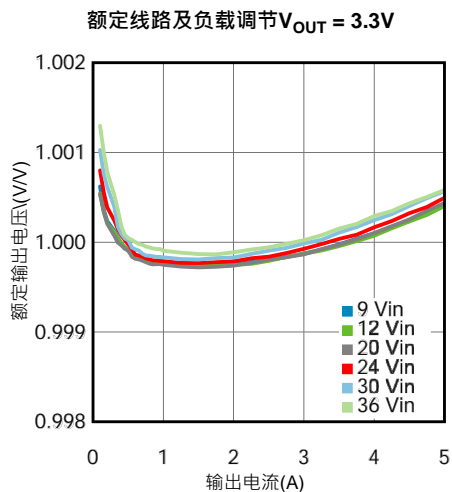


30116996

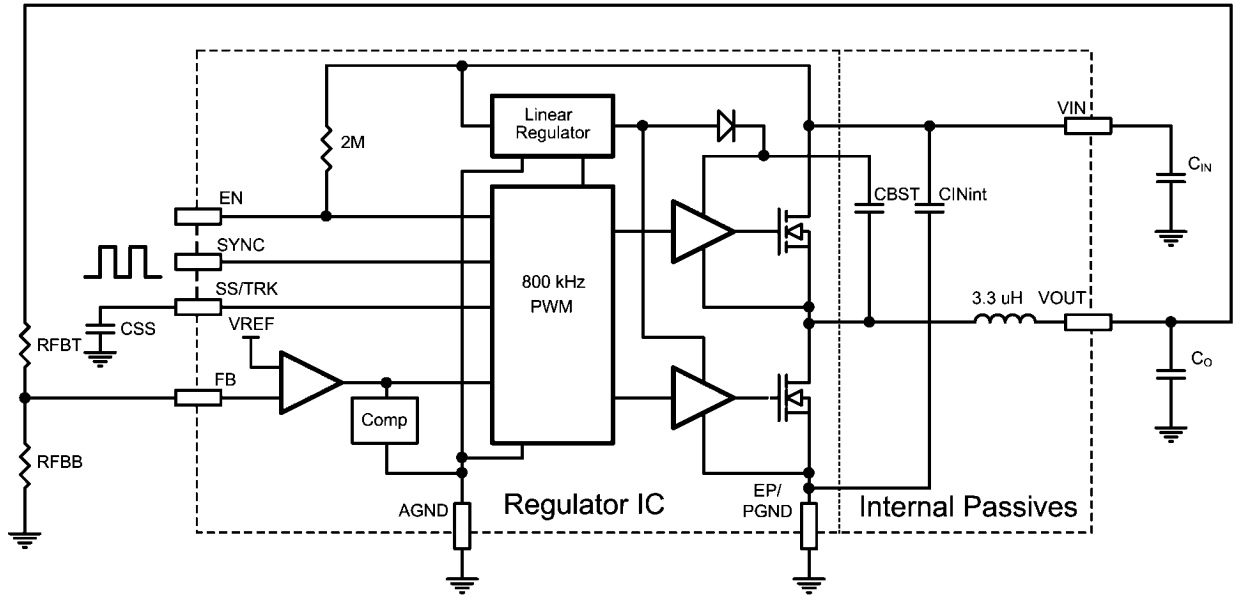
热降额 $V_{IN} = 24V, V_{OUT} = 3.3V$



30116997



框图



一般说明

LMZ23605 SIMPLE SWITCHER® 电源模块是一种易于使用的降压直流/直流解决方案，具有驱动高达5A的负载的能力。

LMZ23605采用创新封装模式，提高了散热性能，可以手工或机器焊接。

LMZ23605可以工作于6V和36V之间的输入电压轨，并提供低至0.8V的可调高精度输出电压。LMZ23605只需要两个外接电阻和三个外接电容就可以形成一个电源解决方案。LMZ23605是一种可靠、稳健的方案，具有以下保护特性：热关断，可编程输入欠压锁定、输出过电压保护、短路保护、输出电流限制和允许预偏置输出启动。同步输入允许在650到950 kHz的开关频率范围内的同步。

LMZ23605应用的设计步骤

LMZ23605可得到WEBENCH®的全面支持并提供：元器件选择、电气模拟和热模拟。另外，还有在设计初始时候可能要用到的评估板和演示版。手工设计LMZ23605应用时的步骤如下。

所有参考的数值请见典型应用原理图4。

- 选择具有使能分压电阻的最小工作输入电压 V_{IN}
- 选择带电阻分压器的编程 V_O
- 选择 C_{IN}
- 确定模块功耗
- 根据所需热特性布置印刷电路板(PCB)

使能分压器 · R_{ENT} · R_{ENB} 和 R_{ENH} 选择

30116910

在模块内部，一个2 mega ohm的上拉电阻器从 V_{IN} 连接到使能端。因为该应用不需要精确的欠压锁定，使能输入可能处于开路状态，内部电阻将一直对模块使能。这种情况下，通常在电压为4.3V (V_{IN} 上升)时发生内部欠压锁定。

在单独监控电路应用中，使能可以与一个逻辑源直接连接。在电源定序的情况下，分压器与一个在上电周期中比LMZ23605输出电压轨更早激活的电压轨连接。

使能提供了一个精确的1.279V阈值，这使得可以直接逻辑驱动或者从一个更高的使能电压比如 V_{in} 连接到一个电压分压器。此外还有一个允许可编程迟滞的21 μ A(典型)的开关偏置电流。请参阅图1。

使能分压器的作用是帮助设计师选择一个输入电压，低于这个输入电压电路就会停止运行。这体现了可编程欠压锁定的特性。这两个电阻器的选择应该符合如下比率：

$$R_{ENT} / R_{ENB} = (V_{IN\ UVLO} / 1.279V) - 1 \quad (1)$$

LMZ23605典型应用展示了 R_{ENB} 是12.7k Ω ， R_{ENT} 是42.2k Ω 时候会产生一个5.46V的上升欠压锁定。请注意，当分压器电压提高到36V时，这个分压器会向输入端提供一个8.33V的电压，超过了推荐的5.5V使能电压限制值。要采用一个中点为5.1V齐纳钳位电路来使这个应用适应于整个从6V到36V的工作范围。如果目标应用禁止超过最大使能。

额外的使能电压迟滞也可以通过 R_{ENH} 增加。可以对 R_{ENT} 和 R_{ENB} 的值进行选择，以使 R_{ENH} 的值为0，在设计时可忽略不计。

上升阈值可按如下方程计算：

$$V_{EN(上升)} = 1.279 (1 + (R_{ENT} \parallel 2 \text{ meg}) / R_{ENB})$$

下降阈值等级可按照如下方程计算：

$$V_{EN}(\text{下降}) = V_{EN}(\text{上升}) - 21 \mu\text{A} (R_{ENT} \parallel 2 \text{ meg} \parallel R_{ENTB} + R_{ENH})$$

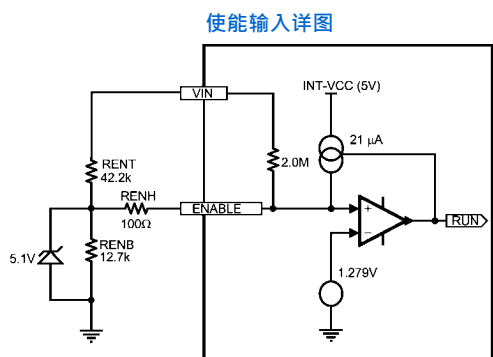


图1

30116909

输出电压选择

输出电压可以用连接在 V_O 和接地之间的两个电阻的分压器来确定。分压器的中点连接到FB输入。

调节输入电压由外部分压电阻 R_{FBT} 和 R_{FBB} 确定：

$$V_O = 0.796V * (1 + R_{FBT} / R_{FBB}) \quad (2)$$

变换上式,为了获得期望输出电压,反馈电阻的比率是：

$$R_{FBT} / R_{FBB} = (V_O / 0.796V) - 1 \quad (3)$$

一般地,这些电阻的阻值的选择应在1.0k Ω 到10.0k Ω 范围内。

因为 $V_O=0.8V$,FB引脚可以直接连接到输出, R_{FBB} 可以设定为8.06k Ω 以提供最小输出负载。

R_{FBT} ,和 R_{FBB} 的数值表见第二页应用原理简图。

软启动电容选择

可编程软启动允许稳压器在上电后缓慢斜升至稳定工作状态点,从而降低输入电源电流浪涌和减慢输出电压的上升时间。

接通后,在通过了所有的欠压锁定条件后,一个1.6毫秒电路使SS/TRK输入缓慢斜升,实现内部软启动。如果2毫秒是一个足够的接通时间,那么 C_{SS} 电容就可不用。通过在该输入端增加一个外部电容就可以获得更长的软启动时间。

软启动持续时间按照如下方程计算

$$t_{SS} = V_{REF} * C_{SS} / I_{SS} = 0.796V * C_{SS} / 50\mu\text{A} \quad (4)$$

该方程可变换为：

$$C_{SS} = t_{SS} * 50\mu\text{A} / 0.796V \quad (5)$$

用一个0.22 μF 的电容就可以获得一个3.5毫秒的典型软启动持续时间；0.47 μF 可获得的典型软启动持续时间是7.5毫秒。0.47 μF 是推荐初始值。

当软启动输入电压超过0.796V,功率级输出将进行调节,并使50 μA 的电流失活。注意下列条件下使用内部电流吸收器通过SS输入对地放电将使软启动电容器复位：

- 使能输入下拉
- 热关断条件
- 内部Vcc欠压锁定(至 V_{IN} 的输入大约4.3V)

跟踪电源分压器选择

跟踪功能允许模块作为从属电源连接到一次电压轨(通常是3.3V系统电压轨),在其中从属模块输出电压比主电压更小。正确的配置允许从属电压轨与主电压轨同时上电,从而减小电压斜升期间两个电压轨之间的电压差(即 $<0.15V$)。跟踪电阻分压器的值的选择要能使内部50 μA 电流源的影响最小化。在大多数情况下,电阻分压电阻器值的比率是跟踪输出电压设定分压器的比值是一样的。跟踪模块的正常工作要求从属电压轨的软启动时间要比主电压轨的更短;由于用 R_{TKB} 取代了聚合物电容 C_{SS} ,这是一个容易满足的条件。跟踪功能只在主电源的上电间隔有效;一旦SS/TRK上升超过0.8V,该输入就不再被使能,50 μA 内部电流源也会被关断。

跟踪选择输入详图

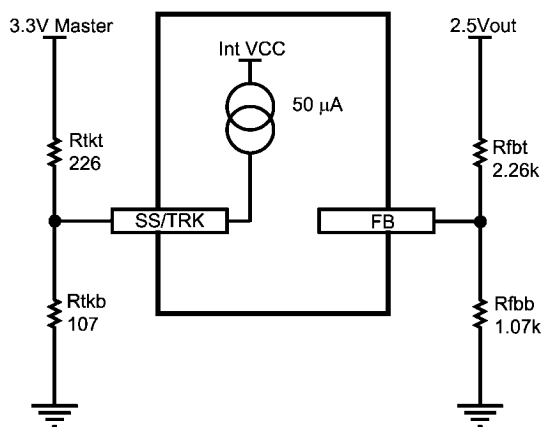


图2

30116915

C_O (输出电容)的选择

在模块内没有要求的 C_O 输出电容值。按照误差信号放大器内内部补偿值,要求一个200 μF 的最小电容值。为了获得最低波纹,推荐使用低ESR钽,有机半导体或者聚合物电容器。输出电容(C_O)可以包含几个紧靠模块平行布置的电容器。输出电容的组装也必须满足按照下面方程(14)计算的 $0.5 * I_{LR P-P}$ 的最差情况下最小波纹电流额定值的要求。此外,只要ESR低到允许值,附加电容就会降低输出波纹。对于闭合环路的运转状态的确认,环路响应验证也是非常有价值的。

对于具有动态负载阶跃的应用,下面的方程为负载瞬态要求提供了一个很好的首选 C_O 近似值。在一个3.3V的输出设计中,式中的 V_{O-Tran} 为100mV。

$$C_O \geq I_{O-Tran} * ((V_{O-Tran} - ESR * I_{O-Tran}) * (Fsw / V_O)) \quad (6)$$

解此方程：

$$C_O \geq 4.5A / ((0.1V - .007 * 4.5) * (800000 / 3.3)) \geq 271\mu\text{F} \quad (7)$$

请注意对200 μF最小输出电容的稳定要求将优先考虑。

一个推荐的输出电容组合是220μF · 7milliohm ESR · 聚合物电容与一个100 uF 6.3V X5R陶瓷电容平行布置。这个组合的性能最佳，可能会超过某些应用的要求。此外一些小的陶瓷电容器可以用于高频电磁波干扰抑制。

C_{IN}选择

LMZ23605模块包含有少量的内部陶瓷输入电容器。在模块的外部需要一个输入电容以处理应用中的输入波纹电流问题。输入电容器可以是几个平行布置的电容器。这个输入电容应该装在非常接近模块的位置。输入电容选择一般以满足输入波纹电流要求为条件，而非电容值。输入波纹电流额定值用如下方程来计算：

$$I(C_{IN(RMS)}) \approx 1/2 * I_O * \text{SQRT}(D / (1-D)) \quad (8)$$

式中 $D \approx V_O / V_{IN}$

(作为一个参考点，当模块处于满载电流情况下且 $V_{IN} = 2 * V_O$ 时，将会产生最糟外壳波纹电流。)

推荐的最小输入电容是22μF X7R (或者X5R)陶瓷电容，其电压额定值至少要高于该应用中最大输入电压的25%。另外需要注意的是所选电容的电压和温度的降额。还应该注意到陶瓷电容器的波纹电流额定值在电容数据表中可能没有列出，你需要直接与电容生产商联系。

如果系统设计要求保持某个小的峰-峰输入纹波电压值(ΔV_{IN})，可用下列方程计算：

$$C_{IN} \geq I_O * D * (1-D) / f_{SW-CCM} * \Delta V_{IN} \quad (9)$$

在12V输入，3.3V输出这个应用中， ΔV_{IN} 是 V_{IN} 的1%；这就等于120 mV和 $f_{SW} = 812$ kHz。

$$C_{IN} \geq 5A * 3.3V/12V * (1 - 3.3V/12V) / (812000 * 0.12 V) \geq 10.2\mu F$$

为抑制输入电源线的寄生电感和输入电容的共振效应需要增加ESR值较高的大容量电容。为实现这个功能，LMZ23605典型应用原理图和评估板包含一个150 μF 50V的铝电容。在很多情况下这个电容并非是必需的。

功率耗散和电路板散热要求

计算模块耗散时，要使用该应用的最大输入电压和平均输出电流。在特性曲线中提供了很多一般工作条件，这样通过插值就可以推导出不常见的应用。在所有的设计中，结点温度必须保持低于125°C的额定最大值。

对于 $V_{IN} = 24V$ ， $V_O = 3.3V$ ， $I_O = 5A$ ，和 $T_{AMB(最大值)} = 85^\circ C$ 的设计实例，模块从外壳到环境中的热阻必须小于：

$$\theta_{CA} < (T_{J-最大值} - T_{A-最大值}) / P_{IC-LOSS} - \theta_{JC} \quad (10)$$

假设从结点到外壳的典型热阻为1.9°C/W。使用在典型性能特性章节所述的85°C时功率耗散来估算该应用设计的 $P_{IC-LOSS}$ ，在该应用中它

是5.5W。(请注意，如果封装耗散超过5W，可能会要求有空气流通进行散热或者加装外部散热器进行散热。)

$$\theta_{CA} = (125 - 85) / 5.5W - 1.9 = 5.37 \quad (11)$$

为使 $\theta_{CA} = 5.37$ ，要求印刷电路板(PCB)能有效散热。在没有空气流动，无外部散热器的情况下，按照以下方程近似估算用2盎司铜皮在顶层和底层覆盖的所需印刷电路板面积：

$$\text{面积}_{cm^2} = 500^\circ C * cm^2/W / \theta_{CA} \quad (12)$$

所得结果是，印刷电路板设计需要大概93平方厘米的2盎司铜皮覆盖在顶层和底层板上。印刷电路板铜散热器必须连接到裸露焊盘(EP)上。大约需要60个10密耳(254 μm)、间隔为39密耳(1.0 mm)的散热通孔来连接顶层和底层的铜箔区域。欲了解SIMPLE SWITCHER®易电源电源模块的高散热性能电路板布线的示例，请参阅AN-2085, AN-2125, AN-2020 和AN-2026。

印刷电路板布局指南

印刷电路板布线是直流-直流转换器设计的一个重要部分。不理想的布线方案会增加电磁干扰、接地反弹和走线上的电阻压降，这些都将影响直流-直流转换器和周围电路的性能。这些将向直流-直流转换器发送错误的信号，导致调节不利或不稳定。好的布线方案需要遵循以下几点简单的设计规则。图5所示就是一个很好的布线实例。

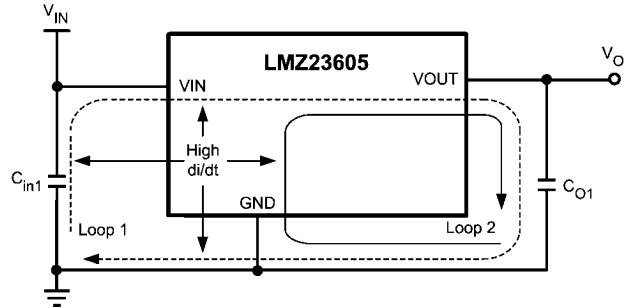


图3

30116911

1. 使开关电流回路尽可能小。

从抑制电磁干扰的角度来看，如上图所示，PC板布局过程中必须尽量降低高的 di/dt 电流通路。不重叠的大电流回路有高 di/dt 区域，如果输入电容(C_{in1})安装位置远离LMZ23605，在输出引脚上就会引起显著的高频噪声。因此要尽可能使输入电容(C_{in1})接近LMZ23605的VIN引脚和PGND裸露焊盘，以避免输出引脚上产生的明显的高频噪声。这将使高 di/dt 区域最小化，从而降低辐射的电磁干扰。另外，输入和输出电容接地都需要包括一个局部的顶部平面，用来连接PGND裸露焊盘(EP)。

2. 采用单点接地。

反馈电路、软启动和使能端元件的接地线只能连接到器件的AGND引脚。这样可避免开关电流或负载电流流入模拟地线中。如果布置不当，接地不良可能导致负载调节性能降低或出现输出电压纹波漂移现象。连接引脚4(AGND)到EP/PGND，形成单点接地连接。

3. 使FB引脚的走线长度尽可能短。

反馈电阻 R_{FBT} 和 R_{FBB} 应尽可能靠近FB引脚。由于FB引脚具有高阻抗，因此应使覆铜面积尽可能小。从 R_{FBT} 、 R_{FBB} 走线应该与LMZ23605模块保持一定的距离，将可能的噪声拾取最小化。

4. 输入输出总线连线尽可能宽。

这样可以减少转换器输入或输出上的压降，从而使效率最大化。为了优化负载上的电压精度，要确保负载上有单独的电压反馈走线。这样将纠正压降，提供最优输出精度。

5. 确保器件散热充分。

使用一组散热孔将裸露焊盘和印刷电路板底层的接地平面连接起来。如果印刷电路板有多个覆铜层，散热通孔同样可以用来连接内层散热接地平面。为了达到最佳效果，可使用一个最小半径为10密耳(254 μm)、间隔为39密耳(1.0 mm)的6 x 10散热通孔组。确保有足够大的覆铜面积用来散热，保持结点温度低于125°C。

附加特性

同步输入

PWM开关频率可以跟一个外部频率源同步。如果不使用该特性，将该输入直接接地，或者通过一个1.5 k Ω 或者更小的电阻接地即可。允许的不同步频率范围为650 kHz至950 kHz。典型输入阈值是1.4V的转换等级。理想的输入时钟应使该阈值增加2倍，因此，推荐通过一个1.5 k Ω 等效源电阻来驱动3.3V逻辑值直接驱动。请注意使用相当于0Hz PWM频率的持续“逻辑1”将导致模块停止转换。

输出过电压保护

如果在FB的电压大于0.86V的内部基准电压，误差信号放大器输出会下拉至接地，导致 V_O 下降。

电流限制

通过低边(LS)和高边(HS)两边的电流限制电路来保护LMZ23605模块。在关断时间，通过监控通过低边同步金属氧化物半导体场效应晶体管(MOSFET)的电流，就可以对低边电流限制值进行检测。请参阅功能框图，当顶部MOSFET断开，电感电流流过负载，PGND引脚和内部同步MOSFET。如果该电流超过5.4A(典型值)，电流限制比较器就会终止下一个开关周期的开始，这个过程会一直持续到电流低于限制值为止。还应该注意的是直流电流限制取决于在典型性能章节的图中所示的占空比。高边电流限制监控顶部MOSFET的电流。一旦检测出高边电流限制值(典型值为7A)，高边MOSFET立即会被关断，直到下一个周期。超过高边电流限制值会导致 V_O 下降。超过低边电流限制值的典型运行状态是 f_{sw} 降低到运行频率的1/2。

热保护

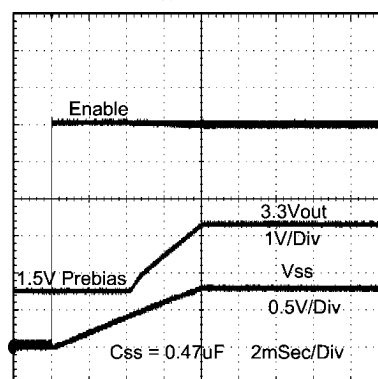
LMZ23605模块的结点温度不得超过其最大额定值。热保护通过一个内部热关断电路实现。在165°C(典型)的情况下该电路就会启动，进

入一个低功率备用状态。在这种状态下，主要MOSFET保持关断而使 V_O 下降，同时CSS电容器对地放电。热保护功能有助于防止器件意外过热造成严重事故。当结点温度降低到150°C(典型迟滞=15°C)以下时，SS引脚释放， V_O 平稳上升，恢复正常运行。在要求有最大输出电流的应用中，尤其是在高输入电压应用中，可能会要求有额外的高温降额。

预偏置启动

LMZ23605将正常启动进入预偏置输出。在多轨逻辑应用中，这种启动情况是很普通的。在启动程序执行期间，在不同的电源轨之间会存在有多个电源通道。下面捕获到的波形图展示了在这种模式下正确的运行状态。波形轨迹1为使能走高。波形轨迹2为1.5V预偏置上升到3.3V。波形轨迹3所示为由 C_{SS} 确定的上升时间。

预偏置启动



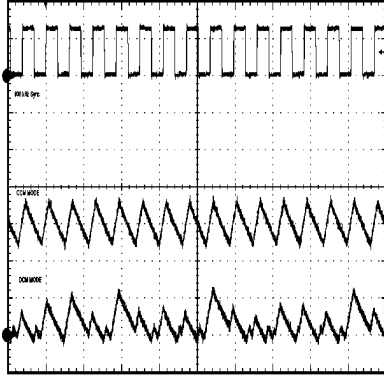
30116925

非连续传导和连续传导模式

小负载情况下，稳压器将以非连续传导模式(DCM)运行。当负载电流大于临界传导点，稳压器将以连续传导模式(CCM)运行。在连续模式下，电流通过电感器，以及整个开关周期，并且在断开期间电流永远不会降低到0。当在非连续模式下运行时，电感电流维持在一个跟 I_{out} 一样大小的平均值，电感器电流显示出所用模拟电流模式控制方法的正常运行状态。在这个运行模式下，通常会有输出电压波纹增加。

下面所示为连续模式(上部)和非连续模式的一组波形比较图。

连续运行模式和非连续运行模式

 $V_{IN} = 12V, V_O = 3.3V, I_O = 3A/0.3A \quad 2 \mu\text{sec/div}$


30116912

确定DCM/CCM界限的近似方程如下：

$$I_{DCB} \approx V_O * (V_{IN} - V_O) / (2 * 3.3 \mu\text{H} * f_{SW(CCM)} * V_{IN}) \quad (13)$$

模块内部的电感器是 $3.3\mu\text{H}$ 。这个值的选择是在低输入电压和高输入电压应用间是一个很好的平衡值。被电感器影响的主要参数是电感纹波电流的幅值 I_{LR} ，它可以用下面的方程计算：

$$I_{LR P-P} = V_O * (V_{IN} - V_O) / (3.3 \mu\text{H} * f_{SW} * V_{IN}) \quad (14)$$

式中， V_{IN} 是最大输入电压， f_{SW} 是 812 kHz (典型值)。

通过假设 $I_O = I_L$ ，如果确定了输出电流 I_O ，那么即可确定更高和更低的 I_{LR} 峰值。

典型应用原理图

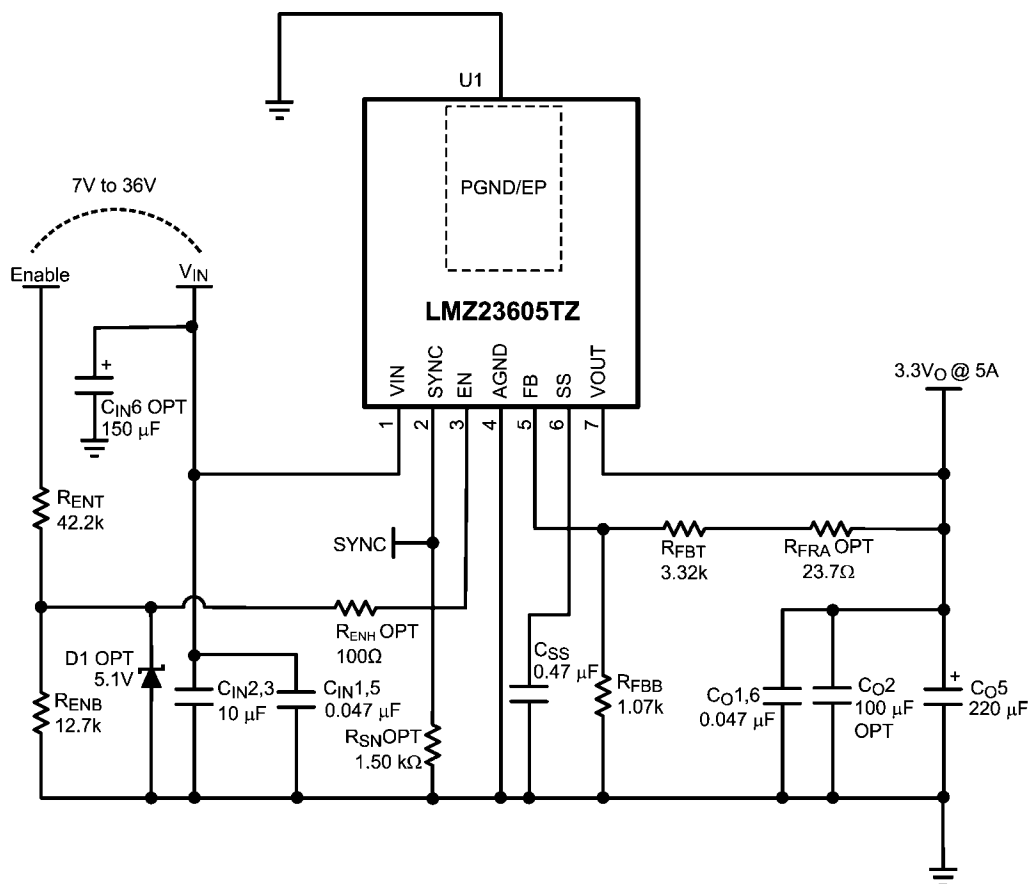


图4

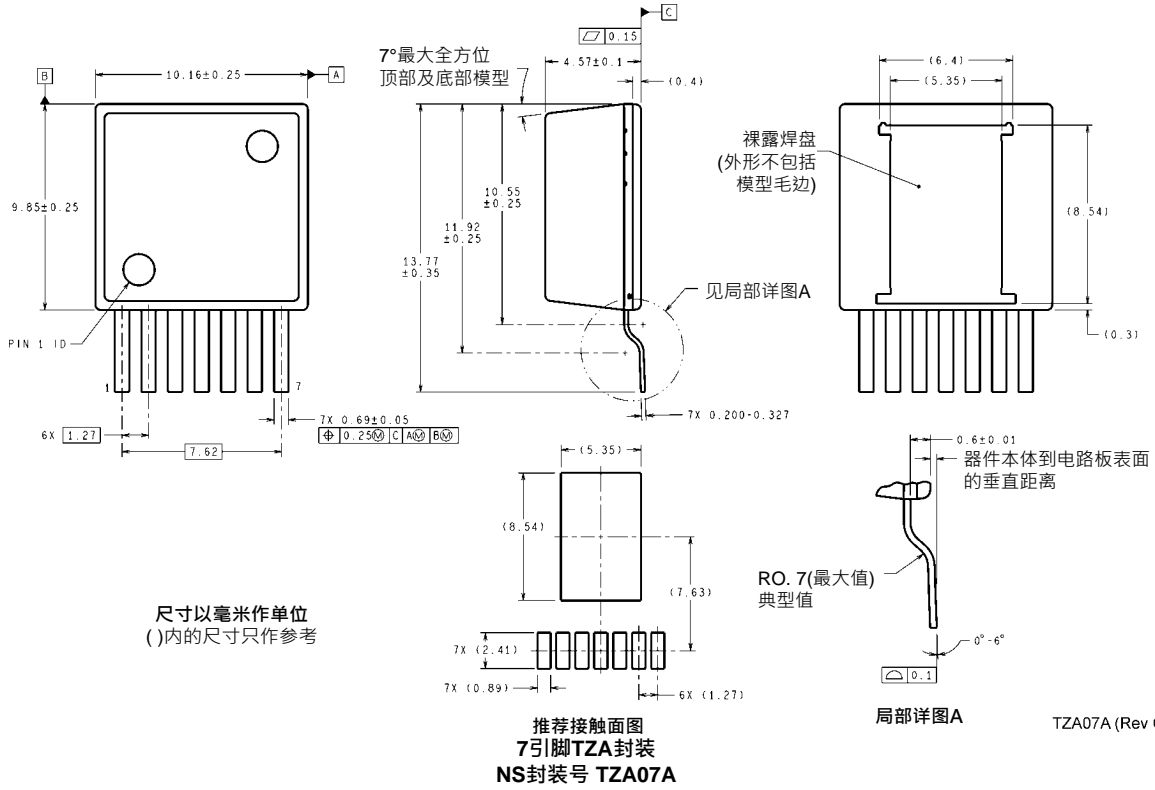
30116907

典型应用物料清单—表1

参考编号	说明	外壳尺寸	制造商	P/N制造商
U1	SIMPLE SWITCHER®易电源	TO-PMOD-7	美国国家半导体公司	LMZ23605TZ
C _{in1,5}	0.047 µF, 50V, X7R	1206	国巨美国公司	CC1206KRX7R9BB473
C _{in2,3}	10 µF, 50V, X7R	1210	日本太阳诱电	UMK325BJ106MM-T
C _{in6} (OPT)	CAP, AL, 150µF, 50V	Radial G	松下电器	EEE-FK1H151P
C _{O1,6}	0.047 µF, 50V, X7R	1206	国巨美国公司	CC1206KRX7R9BB473
C _{O2} (OPT)	100 µF, 6.3V, X7R	1210	TDK	C3225X5R0J107M
C _{O5}	220 µF, 6.3V, SP-Cap	(7343)	松下电器	EEF-UE0J221LR
R _{FBT}	3.32 kΩ	0805	松下电器	ERJ-6ENF3321V
R _{FBB}	1.07 kΩ	0805	松下电器	ERJ-6ENF1071V
R _{SN} (OPT)	1.50 kΩ	0805	威世达勒	CRCW08051K50FKEA
R _{ENT}	42.2 kΩ	0805	松下电器	ERJ-6ENF4222V
R _{ENB}	12.7 kΩ	0805	松下电器	ERJ-6ENF1272V
R _{FRA} (OPT)	23.7Ω	0805	威世达勒	CRCW080523R7FKEA
R _{ENH} (OPT)	100 Ω	0805	威世达勒	CRCW0805100RFKEA
C _{SS}	0.47 µF, ±10%, X7R, 16V	0805	AVX	0805YC474KAT2A
D1(OPT)	5.1V, 0.5W	SOD-123	Diodes Inc.	MMSZ5231BS-7-F

表1

物理尺寸 英寸(毫米)(除非另作说明)



TZA07A (Rev C)

注释

欲了解有关美国国家半导体的产品和验证设计工具的更多信息，请访问以下站点：

www.national.com

产品		设计支持工具	
放大器	www.national.com/amplifiers	WEBENCH® 设计工具	www.national.com/webench
音频	www.national.com/audio	应用注解	www.national.com/appnotes
时钟及定时	www.national.com/timing	参考设计	www.national.com/refdesigns
数据转换器	www.national.com/adc	索取样片	www.national.com/samples
接口	www.national.com/interface	评估板	www.national.com/evalboards
LVDS	www.national.com/lvds	封装	www.national.com/packaging
电源管理	www.national.com/power	绿色公约	www.national.com/quality/green
开关稳压器	www.national.com/switchers	分销商	www.national.com/contacts
LDOs	www.national.com/lido	质量可靠性	www.national.com/quality
LED 照明	www.national.com/led	反馈及支持	www.national.com/feedback
电压参考	www.national.com/vref	简易设计步骤	www.national.com/easy
PowerWise® 解决方案	www.national.com/powerwise	解决方案	www.national.com/solutions
串行数字接口 (SDI)	www.national.com/sdi	军事 / 宇航	www.national.com/milaero
温度传感器	www.national.com/tempsensors	SolarMagic™	www.national.com/solarmagic
无线通信解决方案(PLL/VCO)	www.national.com/wireless	PowerWise® 设计大学	www.national.com/training

本文内容涉及美国国家半导体公司(NATIONAL)产品。美国国家半导体公司对本文内容的准确性与完整性不作任何表示且不承担任何法律责任。美国国家半导体公司保留随时更改上述电路和规格的权利，恕不另行公司通知。本文没有明示或暗示地以禁止反言或其他任何方式，授予过任何知识产权许可。

美国国家半导体公司按照其认为必要的程度执行产品测试及其它质量控制以支持产品质量保证。没有必要对每个产品执行政府规定范围外的所有参数测试。美国国家半导体公司没有责任提供应用帮助或者购买者产品设计。购买者对其使用美国国家半导体公司的部件的产品和应用承担责任。在使用和分销包含美国国家半导体公司的部件的任何产品之前，购买者应提供充分的设计、测试及操作安全保障。

除非有有关该产品的销售条款规定，否则美国国家半导体公司不承担任何由此引出的任何责任，也不承认任何有关该产品销售权与/或者产品使用权利的明示或暗示的授权，其中包括以特殊目的、以营利为目的的授权，或者对专利权、版权、或其他知识产权的侵害。

生命支持策略

未经美国国家半导体公司的总裁和首席律师的明确书面审批，不得将美国国家半导体公司的产品作为生命支持设备或系统中的关键部件使用。特此说明：

生命支持设备或系统指：(a)打算通过外科手术移植到体内的生命支持设备或系统；(b)支持或维持生命的设备或系统，其在依照使用说明正确使用时，有理由认为其失效会造成用户严重伤害。关键部件是在生命支持设备或系统中，有理由认为其失效会造成生命支持设备或系统失效，或影响生命支持设备或系统的安全性或效力的任何部件。

National Semiconductor和National Semiconductor标志均为美国国家半导体公司的注册商标。其他品牌或产品名称均为有关公司所拥有的商标或注册商标。

美国国家半导体公司2011版权所有。

欲了解最新产品信息，请访问公司网站：www.national.com



美国国家半导体美洲区技术支持中心

电子邮件: support@nsc.com
电话: 1-800-272-9959

美国国家半导体欧洲技术支持中心

电子邮件: europe.support@nsc.com

美国国家半导体亚太区技术支持中心

电子邮件: ap.support@nsc.com

美国国家半导体日本技术支持中心

电子邮件: jpn.feedback@nsc.com

重要声明

德州仪器(TI) 及其下属子公司有权在不事先通知的情况下, 随时对所提供的产品和服务进行更正、修改、增强、改进或其它更改, 并有权随时中止提供任何产品和服务。客户在下订单前应获取最新的相关信息, 并验证这些信息是否完整且是最新的。所有产品的销售都遵循在订单确认时所提供的TI 销售条款与条件。

TI 保证其所销售的硬件产品的性能符合TI 标准保修的适用规范。仅在TI 保证的范围内, 且TI 认为有必要时才会使用测试或其它质量控制技术。除非政府做出了硬性规定, 否则没有必要对每种产品的所有参数进行测试。

TI 对应用帮助或客户产品设计不承担任何义务。客户应对其使用TI 组件的产品和应用自行负责。为尽量减小与客户产品和应用相关的风险, 客户应提供充分的设计与操作安全措施。

TI 不对任何TI 专利权、版权、屏蔽作品权或其它与使用了TI 产品或服务的组合设备、机器、流程相关的TI 知识产权中授予的直接或隐含权限作出任何保证或解释。TI 所发布的与第三方产品或服务有关的信息, 不能构成从TI 获得使用这些产品或服务的许可、授权、或认可。使用此类信息可能需要获得第三方的专利权或其它知识产权方面的许可, 或是TI 的专利权或其它知识产权方面的许可。

对于TI 的产品手册或数据表, 仅在没有对内容进行任何篡改且带有相关授权、条件、限制和声明的情况下才允许进行复制。在复制信息的过程中对内容的篡改属于非法的、欺诈性商业行为。TI 对此类篡改过的文件不承担任何责任。

在转售TI 产品或服务时, 如果存在对产品或服务参数的虚假陈述, 则会失去相关TI 产品或服务的明示或暗示授权, 且这是非法的、欺诈性商业行为。TI 对此类虚假陈述不承担任何责任。

TI 产品未获得用于关键的安全应用中的授权, 例如生命支持应用(在该类应用中一旦TI 产品故障将预计造成重大的人员伤亡), 除非各方官员已经达成了专门管控此类使用的协议。购买者的购买行为即表示, 他们具备有关其应用安全以及规章衍生所需的所有专业技术和知识, 并且认可和同意, 尽管任何应用相关信息或支持仍可能由TI 提供, 但他们将独力负责满足在关键安全应用中使用其产品及TI 产品所需的所有法律、法规和安全相关要求。此外, 购买者必须全额赔偿因在此类关键安全应用中使用TI 产品而对TI 及其代表造成的损失。

TI 产品并非设计或专门用于军事/航空应用, 以及环境方面的产品, 除非TI 特别注明该产品属于“军用”或“增强型塑料”产品。只有TI 指定的军用产品才满足军用规格。购买者认可并同意, 对TI 未指定军用的产品进行军事方面的应用, 风险由购买者单独承担, 并且独力负责在此类相关使用中满足所有法律和法规要求。

TI 产品并非设计或专门用于汽车应用以及环境方面的产品, 除非TI 特别注明该产品符合ISO/TS 16949 要求。购买者认可并同意, 如果他们在汽车应用中使用任何未被指定的产品, TI 对未能满足应用所需要求不承担任何责任。

可访问以下URL 地址以获取有关其它TI 产品和应用解决方案的信息:

	产品		应用
数字音频	www.ti.com.cn/audio	通信与电信	www.ti.com.cn/telecom
放大器和线性器件	www.ti.com.cn/amplifiers	计算机及周边	www.ti.com.cn/computer
数据转换器	www.ti.com.cn/dataconverters	消费电子	www.ti.com/consumer-apps
DLP® 产品	www.dlp.com	能源	www.ti.com/energy
DSP - 数字信号处理器	www.ti.com.cn/dsp	工业应用	www.ti.com.cn/industrial
时钟和计时器	www.ti.com.cn/clockandtimers	医疗电子	www.ti.com.cn/medical
接口	www.ti.com.cn/interface	安防应用	www.ti.com.cn/security
逻辑	www.ti.com.cn/logic	汽车电子	www.ti.com.cn/automotive
电源管理	www.ti.com.cn/power	视频和影像	www.ti.com.cn/video
微控制器 (MCU)	www.ti.com.cn/microcontrollers		
RFID 系统	www.ti.com.cn/rfidsys		
OMAP 机动性处理器	www.ti.com/omap		
无线连通性	www.ti.com.cn/wirelessconnectivity		
	德州仪器在线技术支持社区		www.deyisupport.com

邮寄地址: 上海市浦东新区世纪大道 1568 号, 中建大厦 32 楼 邮政编码: 200122
Copyright © 2012 德州仪器 半导体技术 (上海) 有限公司

X-ON Electronics

Largest Supplier of Electrical and Electronic Components

Click to view similar products for [Switching Voltage Regulators](#) category:

Click to view products by [Texas Instruments](#) manufacturer:

Other Similar products are found below :

[FAN53610AUC33X](#) [FAN53611AUC123X](#) [EN6310QA](#) [160215](#) [R3](#) [KE177614](#) [FAN53611AUC12X](#) [MAX809TTR](#) [NCV891234MW50R2G](#)
[AST1S31PUR](#) [NCP81203PMNTXG](#) [NCP81208MNTXG](#) [PCA9412AUKZ](#) [NCP81109GMNTXG](#) [NCP3235MNTXG](#) [NCP81109JMNTXG](#)
[NCP81241MNTXG](#) [NTE7223](#) [NTE7222](#) [NTE7224](#) [L6986FTR](#) [MPQ4481GU-AEC1-P](#) [MP8756GD-P](#) [MPQ2171GJ-P](#) [MPQ2171GJ-AEC1-P](#)
[N JW4153U2-A-TE2](#) [MP2171GJ-P](#) [MP28160GC-Z](#) [XDPE132G5CG000XUMA1](#) [LM60440AQRPKRQ1](#) [MP5461GC-P](#) [IW673-20](#)
[NCV896530MWATXG](#) [MPQ4409GQBE-AEC1-P](#) [S-19903DA-A8T1U7](#) [S-19903CA-A6T8U7](#) [S-19903CA-S8T1U7](#) [S-19902BA-A6T8U7](#)
[S-19902CA-A6T8U7](#) [S-19902AA-A6T8U7](#) [S-19903AA-A6T8U7](#) [S-19902AA-S8T1U7](#) [S-19902BA-A8T1U7](#) [AU8310](#)
[LMR23615QDRRRQ1](#) [LMR33630APAQRN XRQ1](#) [LMR33630APCQRN XRQ1](#) [LMR36503R5RPER](#) [LMR36503RFRPER](#)
[LMR36503RS3QRPERQ1](#)